

ВЛИЯНИЕ ШИРИНЫ ФРОНТА ПРИ КВАЗИИЗЭНТРОПИЧЕСКОМ СЖАТИИ НА УПРОЧНЕНИЕ НЕКОТОРЫХ МЕТАЛЛОВ

М. А. Могилевский, С. А. Бордзиловский, Н. Н. Горшков
(*Новосибирск*)

Упрочнению взрывом и структурным изменениям при ударном нагружении посвящено большое число работ, но в настоящее время еще нет общепринятых представлений о связи упрочнения с параметрами нагружения. Структурные изменения при ударном нагружении могут происходить на фронте сжатия, на «полочеке», где не наблюдается заметных изменений нормального давления, и при разгрузке. Обычно в работах по ударному нагружению исследуют зависимость упрочнения от максимального давления [1]. Однако при этом изменяются и другие параметры нагружения: ширина фронта ударной волны, длительность «полочки», крутизна разгрузки, величина остаточной деформации. В [2—4] получены данные о связи упрочнения с толщиной метаемой пластины, что трактуется как влияние на упрочнение длительности импульса давления.

С точки зрения механизма деформационного упрочнения следует ожидать, что наибольший вклад в упрочнение должна давать деформация во фронте ударной волны. Действительно, здесь достигаются высокие касательные напряжения [5], время деформации мало, и, следовательно, требуются большие плотности подвижных дислокаций. Высокая плотность подвижных дислокаций во фронте ударной волны обеспечивает значительное упрочнение при небольшой остаточной деформации. Так, при давлениях на фронте ≈ 100 кбар в меди достигается остаточная плотность дислокаций $\approx 10^{11} \text{ см}^{-2}$ [6]. Поэтому сдвиги в обратных направлениях по системам, работавшим при сжатии, могут помешать зарождению сдвигов в системах, благоприятных при разгрузке [7].

Цель настоящей работы — исследование влияния ширины фронта волны сжатия, формируемой методом многократно отраженных ударных волн, на упрочнение и деформационную структуру меди и никеля.

Схема нагружения. Для формирования в образце волны сжатия использовалась методика, аналогичная [8]. Схема эксперимента представлена на рис. 1. Между ударником, разгоняемым продуктами взрыва, и образцом помещена прокладка из жидкого водорода. Высокая сжимаемость такой прокладки обеспечивала слабый скачок давления в первой ударной волне, распространяющейся по прокладке, а также в отраженной от поверхности образца волне. При использовании ударников из алюминиевого сплава Д16Т толщиной $\delta = 8 \div 10$ мм и скоростях $w = 2,4$ и $3,6$ км/с интенсивность в первой проходящей в медный образец волне составляла ≈ 35 и ≈ 70 кбар, соответственно [9, 10]. Еще больше понижение интенсивности первой волны достигалось при нагружении жидкого водорода через латунный экран толщиной 8 мм. Так, при $w = 2,9$ км/с расчетная амплитуда первого ударного скачка в образце из меди составляла ≈ 20 кбар. Дополнительное сглаживание профиля волны может происходить за счет упругого предвестника, который появляется в каждой отдельной ступеньке сжатия по мере распространения волны в образце [11].

Асимптотически достижимые давления p_{\max} на «полочеке» волны сжатия определяются на $p - u_p$ -диаграмме процесса точкой пересечения «квазизэнтроп» сжатия материалов ударника и образца. Для ударников с $w = 2,4, 2,9$ и $3,6$ км/с эти давления составляют в меди 350, 400 и 570 кбар соответственно.

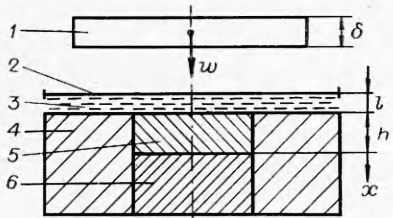


Рис. 1. Схема нагружения.
1 — ударник; 2 — медная мембрана ($\delta=20$ мкм); 3 — жидкий водород; 4 — обойма; 5 — образец; 6 — поддон.

Глубина в образце, на которой волна сжатия трансформируется в ударный скачок разделяет две зоны: низкотемпературного квазизэнтропического и высокотемпературного ударного сжатия. При отсутствии влияния догоняющей и боковой разгрузок, что обеспечивалось соответствующими размерами ударника и мишени, различие p_{\max} в зоне квазизэнтропического сжатия и $p_{\text{уд}}$ в зоне ударного сжатия составляет $\leq 1\%$ при давлениях до 570 кбар [9]. Таким образом, в рабочем диапазоне давлений по глубине образца изменялась ширина фронта волны сжатия и температура сжатия при одинаковом давлении в обеих зонах.

Вся сборка охлаждалась до температуры кипения жидкого водорода. При $T_0=20,5$ К и $p_{\max}\approx 570$ кбар остаточные температуры медных образцов составляли 170 и 375 К в зоне квазизэнтропического и ударного сжатия соответственно [8], что позволило устраниТЬ эффекты отжига в сохраненных для металлографических исследований образцах.

Ширина фронта волны сжатия измерялась с помощью манганиновых датчиков, расположенных на различной глубине x образца. Измеренная при $x=2,2$ мм, $l=5$ мм ширина фронта волны сжатия составляла ≈ 1 мкс. Измерение ширины фронта ударной волны при $x>10$ мм ограничивалось времененным разрешением датчика и составляло 0,1 мкс.

Результаты экспериментов. Опыты по упрочнению меди проводились на монокристаллах чистотой 99,996% ориентации [112]. Образцы размером 25×25 мм² ($h=10\div 15$ мм) вырезались на электроискровом станке, искаженная зона химически стравливалась. Остаточная деформация сохраненных образцов составляла 6÷8%. Результаты измерения микротвердости приведены на рис. 2. Прямое соударение с образцом приводило к однородному упрочнению на всю глубину (рис. 2, 2). В образцах, нагруженных через прослойку жидкого водорода, в верхней зоне твердость ниже, чем в зоне ударного сжатия (рис. 2, 1, 3). Этот эффект связан с уменьшением скорости деформации в зоне квазизэнтропического сжатия. Средняя скорость пластической деформации

$$\varepsilon \approx \alpha N b v, \quad (1)$$

где α — коэффициент, учитывающий положение плоскости сдвига; N — плотность подвижных дислокаций; b — вектор Бюргерса; v — средняя скорость дислокаций. По измеренной ширине фронта волны сжатия $\Delta t \approx 1$ мкс оценим среднюю скорость деформации [5]: $\varepsilon \approx 2/3 \cdot \Delta V/V_0 \Delta t = = 5 \cdot 10^5$ с⁻¹. Примем также $\alpha = 1/2$, $b = 3$ Å, $v \approx 500$ м/с. Из (1) получим $N \approx 2 \cdot 10^8$ см⁻², т. е. деформация может быть осуществлена при сравнительно невысокой плотности подвижных дислокаций. Отметим, что твердость в нижней зоне при $x \leq 6$ мм несколько ниже величины, полученной при прямом нагружении образца ударником до того же давле-

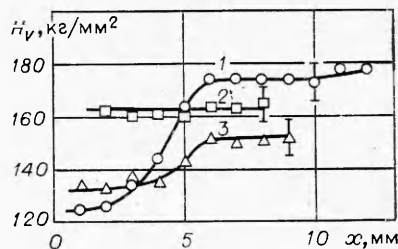


Рис. 2. Зависимость микротвердости по Виккерсу от глубины моно-кристаллов меди в плоскости (111).

$$H_{V_0} = 93,8 \text{ кгс}/\text{мм}^2$$

1 — квазизэнтропическое нагружение, $p_1 \approx 20$ кбар, $p_{\max} \approx 400$ кбар; 2 — ударное нагружение, $p_{\text{уд}} \approx 300$ кбар; 3 — квазизэнтропическое нагружение, $p_1 \approx 35$ кбар, $p_{\max} \approx 300$ кбар.

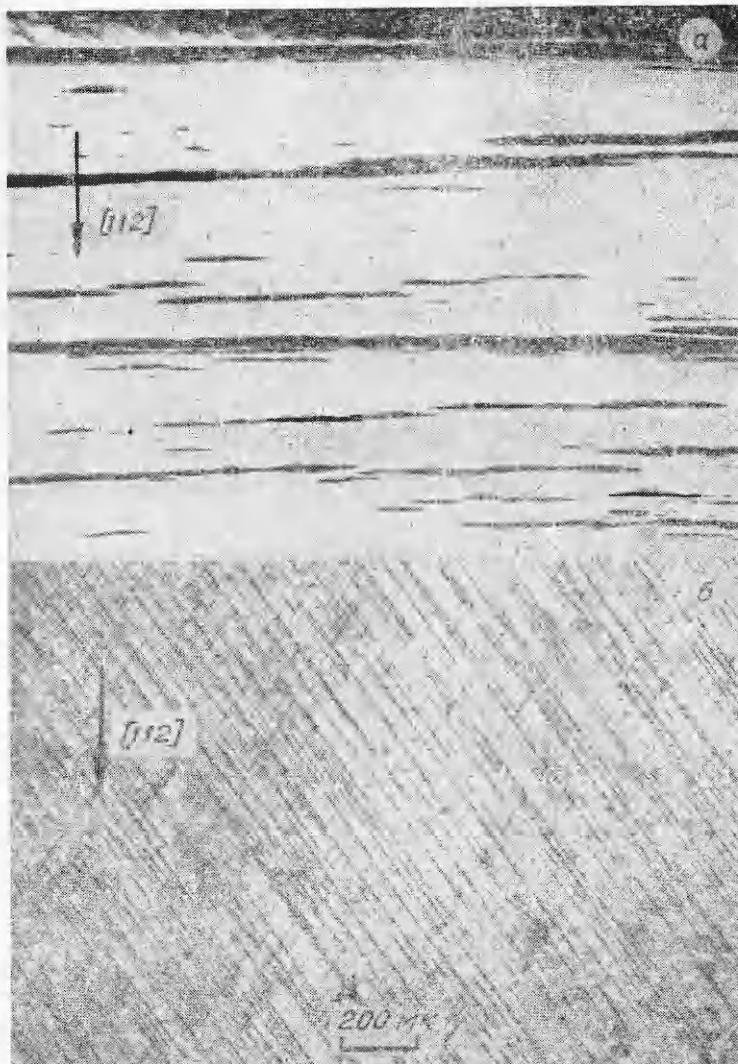


Рис. 3. Деформационная структура монокристалла меди в плоскости $(\bar{1}\bar{1}1)$; $p_1 \approx 20$ кбар, $p_{\max} \approx 400$ кбар.

ния (рис. 2, 2, 3). Это может свидетельствовать о том, что стационарность профиля на данных глубинах не устанавливается.

Изучение следов деформации образца, нагруженного до $p_{\max} \approx 400$ кбар в сечении $(\bar{1}\bar{1}1)$ показало заметное отличие структуры в верхней и нижней зонах (рис. 3). Обработка поверхности специальным травителем на дислокации выявила наличие высокой концентрации ямок травления. Кристаллографический анализ позволяет рассчитывать в монокристалле уровень касательных напряжений в различных системах сдвига [12]. В медном монокристалле, нагруженном плоской упругой волной в направлении $[112]$, расчет с учетом жесткости боковых стенок нагруженного микрообъема дает, что при сжатии максимальные касательные напряжения $\tau = 0,042 p_n$ возникают в системах двойникования $(\bar{1}\bar{1}\bar{1})$ $[1\bar{1}2]$ и $(\bar{1}\bar{1}\bar{1})$ $[\bar{1}12]$. При этом в плоскости $(\bar{1}\bar{1}1)$ касательные напряжения отсутствуют, а в системе (111) $[112]$ уровень касательных напряжений значительно ниже: $\tau = 0,01 p_n$. Как видно из

рис. 3, б в зоне сжатия ударной волной, где происходила быстрая перестройка решетки, хорошо развито двойникование по системам сжатия (111) [112] и (111) [112], а сдвиги по плоскости (111) практически отсутствуют. В верхней зоне (см. рис. 3, а) структура резко отличная. На фоне редких следов сдвигов по плоскостям (111) и (111) активно развито двойникование по плоскости (111). По-видимому, это следы двойникования по системам (111) [211] и (111) [121], появившиеся уже при разгрузке, когда образец испытывал растягивающие напряжения в осевом направлении.

Увеличение амплитуды первого скачка давления в образце до ≈ 35 кбар при $p_{\max} \approx 300$ кбар привело к уменьшению разницы в упрочнении верхней и нижней зон (см. рис. 2, 2). На срезе этого образца двойникование по системам сжатия было активно развито в обеих зонах, что может свидетельствовать о превышении на фронте критического уровня сдвиговых напряжений для двойникования в этом опыте. Однако сравнение с результатами других работ затруднено в связи с большим разбросом данных о величине критического уровня напряжений.

Дополнительная информация о различии деформационных структур при квазизэнтропическом и ударном сжатии получена при изохронном отжиге электросопротивления и твердости по методике [6]. Исследовался образец, нагруженный до $p_{\max} \approx 400$ кбар. На рис. 4 приведены кривые восстановления электросопротивления медных проволочек, вырезанных из разных зон образца, до значений $\rho_0 = 0,2$ мкОм·см, соответствующих электросопротивлению полностью отожженной меди при температуре 77,5 К. Необходимо отметить, что поскольку образцы перед отжигом выдерживались при комнатной температуре, то I—IV стадии отжига (согласно классификации [13]) были уже проиндексированы. Корреляция в изменении электросопротивления и микротвердости позволяет установить, что регистрируемый резкий спад на кривых относится к V стадии восстановления, т. е. к отжигу дислокаций. Снятые кривые показывают, что в нижней зоне уменьшение количества дислокаций происходит при температурах выше 140°C. Для образца, вырезанного из верхней зоны, отжиг происходит при более высоких температурах и температурный интервал отжига больше. Если принять оценку [14] для вклада дислокаций в электросопротивление $\Delta\rho \approx 2,8 \cdot 10^{-13} N$ мкОм·см³, то можно оценить плотности дислокаций: $N \approx 4,3 \cdot 10^{10}$ см⁻² и $N \approx 1,5 \cdot 10^{11}$ см⁻² в верхней и нижней зонах соответственно. Наблюдение за изменением микроструктуры образцов в процессе отжига показало, что резкое уменьшение твердости связано с началом рекристаллизации.

Аналогичные исследования образца, нагруженного до $p_{\max} \approx 300$ кбар дали интервалы отжига электросопротивления 240–300 и 260–320°C для верхней и нижней зон соответственно. Уменьшение температуры рекристаллизации при нагружении ударными волнами увеличивающейся интенсивности отмечалось ранее в [6]. В [5, 6] высказаны предположения о смене механизма деформации в меди при повышении давления на фронте. Одно лишь различие

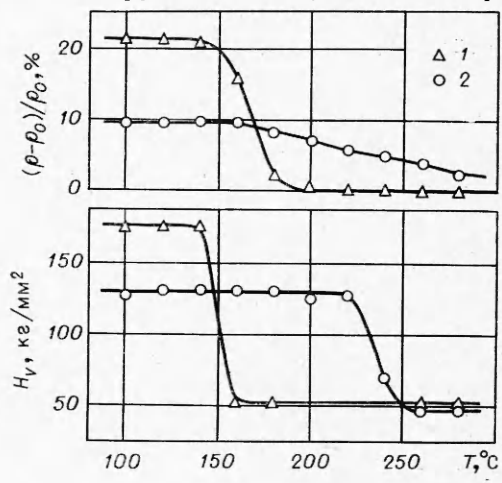


Рис. 4. Изменение электросопротивления и микротвердости меди при изохронном отжиге; $p_{\max} \approx 400$ кбар.
1 — $x=0,8$ мм; 2 — $x=10,3$ мм.

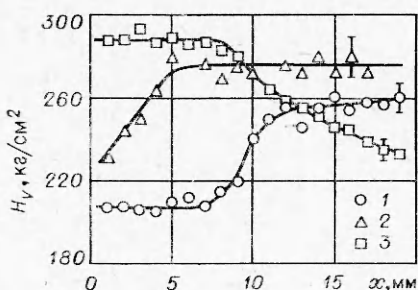


Рис. 5. Зависимость микротвердости от глубины поликристаллических образцов никеля.

1 — нагружение до $p_{\max} \approx 570$ кбар через прокладку из жидкого водорода, $l=7$ мм; 2 — нагружение до $p_{\max} \approx 570$ кбар через пенопластовую прокладку, $l=10$ мм, $T_0=293$ К; 3 — прямое нагружение до $p_{\text{уд}} \approx 600$ кбар стальным ударником, $\delta=3,1$ мм, $T_0=293$ К.

в плотности дислокаций между верхней и нижней зонами в 3 раза не может объяснить наблюдаемых различий в твердости и температуре рекристаллизации.

Представляет интерес характер упрочнения поликристаллических образцов в аналогичных условиях нагружения. Проводились опыты, в которых образцы технически чистого никеля нагружались ударником из Д16Т ($\delta=10$ мм) через прокладки из жидкого водорода и пенопласта $l \approx 7$ мм до $p_{\max} \approx 600$ кбар. Для сравнения поставлен опыт, в котором образец нагружался тонким стальным ударником $\delta=3$ мм до $p_{\text{уд}} \approx 600$ кбар. Результаты измерений, выполненные на сохранных образцах, представлены на рис. 5. Деформационная структура при сжатии поликристаллических металлов усложняется влиянием границ зерен, однако соображения относительно зависимости плотности дислокаций, а следовательно, твердости, от скорости деформации остаются в силе.

Результаты настоящей работы позволяют сделать вывод, что при упрочнении металлов взрывом такие остаточные эффекты, как микротвердость, деформационная структура, температура рекристаллизации, определяются не только величиной пикового давления, но и шириной фронта волны сжатия.

Поступила в редакцию
30/XII 1977

ЛИТЕРАТУРА

- Г. Е. Дитер. В сб.: Механизмы упрочнения твердых тел. М., Металлургиздат, 1965.
- A. S. Appleton, J. S. Waddington. Acta Met., 1964, **12**, 956.
- L. E. Murr, M. L. Sattler. Scripta Met., 1974, **8**, 1477.
- L. E. Murr, Jong-Yuh Hung. Mater. Sci. and Engi., 1975, **19**, 115.
- G. R. Cowap. Trans. Met. Soc. AIME, 1965, **233**, 1120.
- М. А. Могилевский. ФГВ, 1970, **5**, 2.
- М. А. Могилевский. ФММ, 1969, **28**, 3.
- С. А. Бордзиловский, Н. Н. Горшков. ФГВ, 1977, **13**, 3.
- R. G. McQueen, S. R. Marsh. J. Appl. Phys., 1960, **31**, 7.
- M. Van Thiel, B. J. Alder. Molec. Phys., 1966, **10**, 427.
- А. Н. Дремин, Г. И. Канель. ПМТФ, 1976, 2.
- Г. Лейбфрид. Микроскопическая теория механических и тепловых свойств кристаллов. М., Физматгиз, 1963.
- Ф. Блатт. Физика электронной проводимости в твердых телах. М., «Мир», 1971.
- Ж. Фридель. Дислокация. М., «Мир», 1967.